

ЛІТЕРАТУРА

1. Новацкий В. Вопросы термоупругости. М., Изд-во АН СССР, 1962.
 2. Снеддон И. Преобразования Фурье. М., ИЛ, 1955.
-

УДК 539.385

О. П. ПІДДУБНЯК, Д. В. ГРИЛІЦЬКИЙ

СУМІСНЕ КРУЧЕННЯ КРУГЛОГО ПОРОЖНИСТОГО ЦИЛІНДРА ТА ПІВПРОСТОРУ ПРИ НЕПОВНОМУ КОНТАКТІ

Осьесиметрична задача про сумісне кручення суцільного циліндра і півпростору розв'язана в роботах [3, 5]. Випадок частинно прикріпленого суцільного циліндра з півпростором, що відповідає наявності зовнішньої щілини в зоні спаю двох пружних тіл, вивчався в роботі [7].

У цій статті ми наводимо наближений розв'язок задачі про кручення пружної системи «порожністий циліндр—півпростір», послабленої в зоні спаю внутрішньою та зовнішньою щілинами.

1. Нехай пружний півпростір $z \leq 0$ скручується пружним циліндром радіусів $R_1, R_2 (R_1 > R_2)$ довжини h . Циліндр навантажений на бічних поверхнях, а на верхньому торці $z = h, R_1 \geq r \geq R_2$ задано або переміщення (задача I), або напруження (задача II). Вважається, що циліндр спаяний з півпростором по кільцу $z = 0, a \leq r \leq b (R_1 > b > a > R_2)$, а поверхні півпростору та нижнього торця циліндра поза областью спаю вільні від навантаження. Півпростір і циліндр заповнені різними ізотропними матеріалами.

Задача полягає у розв'язанні диференціального рівняння кручення [2]

$$\frac{\partial^2 u}{\partial r^2} + \frac{1}{r} \frac{\partial u}{\partial r} - \frac{u}{r^2} + \frac{\partial^2 u}{\partial z^2} = 0, \quad (1.1)$$

де

$$u = u_1(r, z), \quad z < 0, \quad u = u_2(r, z), \quad z > 0 \quad (1.2)$$

при таких граничних умовах:

$$u_1 \rightarrow 0, \quad \sqrt{r^2 + z^2} \rightarrow \infty, \quad (1.3)$$

$$\tau_{\theta z}^{(i)} = 0, \quad i = 1, 2; \quad r < a, \quad r > b, \quad z = 0, \quad (1.4)$$

$$u_1 = u_2, \quad \tau_{\theta z}^{(1)} = \tau_{\theta z}^{(2)}, \quad a < r < b, \quad z = 0, \quad (1.5)$$

$$\tau_{r\theta}^{(2)}(R_i, z) = G_2 f_i(z/R_1), \quad 0 < z < h, \quad i = 1, 2, \quad (1.6)$$

$$u_2 = b U(r/R_1), \quad R_1 \geq r \geq R_2, \quad z = h, \quad (\text{задача I}), \quad (1.7)$$

$$\tau_{\theta z}^{(2)} = G_2 T(r/R_1), \quad R_1 \geq r \geq R_2, \quad z = h, \quad (\text{задача II}). \quad (1.8)$$

Тут u_i — тангенціальні зміщення; $\tau_{\theta z}^{(i)}, \tau_{r\theta}^{(i)}$ — дотичні напруження

$$\tau_{\theta z}^{(i)} = G_i \frac{\partial u_i}{\partial z}, \quad \tau_{r\theta}^{(i)} = G_i r \frac{\partial}{\partial r} \left(\frac{u_i}{r} \right) \quad (G_i — \text{модуль зсуву}). \quad (1.9)$$

2. Використавши метод частинних розв'язків [2, 4], загальний розв'язок рівняння (1.1) одержимо у вигляді

$$u_1 = b \int_0^{\infty} \eta^{-1} e^{\eta \zeta} J_1(\eta x) \varphi(\eta) d\eta, \quad \zeta < 0, \quad (2.1)$$

$$u_2 = b \left\{ A_0 \rho \zeta + B_0 \rho + \sum_{k=1}^{\infty} [A_k J_1(\lambda_k \rho) + B_k K_1(\lambda_k \rho)] \sin \lambda_k (H - \zeta) + \right. \\ \left. + \sum_{k=1}^{\infty} (C_k \operatorname{ch} \mu_k \zeta + D_k \operatorname{sh} \mu_k \zeta) W_1(\lambda_k \rho) \right\}, \quad 0 < \zeta < H, \quad (2.2)$$

де λ_k — додатні корені функції $W_2(\lambda_k \varepsilon_0)$,

$$W_n(\lambda_k \rho) = J_n(\lambda_k \rho) / J_2(\lambda_k) - N_n(\lambda_k \rho) / N_2(\lambda_k), \quad (2.3)$$

$J_n(x), N_n(x), I_n(x), K_n(x)$ — циліндричні функції,

$$\zeta = z/b, \quad \rho = r/R_1, \quad x = r/b, \quad H = h/b, \quad \chi_k = k\pi/H, \\ \varepsilon_0 = R_2/R_1, \quad \varepsilon_1 = b/R_1, \quad \varepsilon = a/b, \quad k = \overline{1, \infty}. \quad (2.4)$$

Розкладши функції $f_i(\xi)$ ($i = 1, 2$) в ряди Фур'є, а функції $U(\rho)$ і $T(\rho)$ в ряди Діні і, задовільнивши граничні умови (1.6) — (1.8), знайдемо сталі інтегрування $A_0, B_0, A_k, B_k, C_k, D_k$ ($k = \overline{1, \infty}$), а отже, і формулі для напружень і переміщень у циліндрі. Задовільнивши решту граничних умов (1.4), (1.5), одержимо інтегральне рівняння Фредгольма першого роду

$$\int_{\varepsilon}^1 \xi \tau(\xi) d\xi \int_0^{\infty} J_1(\eta \xi) J_1(\eta x) d\eta = F(x), \quad \varepsilon < x < 1, \quad (2.5)$$

$$F(x) = F_0 x + \sum_{k=1}^{\infty} F_k W_1(\mu_k x), \quad \mu_k = \lambda_k \varepsilon_1 \quad (2.6)$$

відносно безрозмірного контактного напруження $\tau(x)$, пов'язаного з функцією $\varphi(\eta)$ за формулою

$$\tau(x) = \begin{cases} \int_0^{\infty} \varphi(\eta) J_1(\eta x) d\eta, & \varepsilon < x < 1, \\ 0, & 0 < x < \varepsilon, \quad 1 < x < \infty. \end{cases} \quad (2.7)$$

У розкладі (2.6) $F_m = \Omega_m - N_m$ ($m = \overline{0, \infty}$), де сталі Ω_m певним чином виражаються через $f_1(\zeta)$, $f_2(\zeta)$ і, крім того, для задачі I через $U(\rho)$, а для задачі II через $T(\rho)$. Сталі N_m залежать від контактного напруження $\tau(x)$

$$N_0 = \frac{4H\varepsilon_1^3}{\delta(1-\varepsilon_0^4)} \int_{\varepsilon}^1 x^2 \tau(x) dx, \quad N_k = \kappa_k \int_{\varepsilon}^1 x \tau(x) W_1(\mu_k x) dx, \quad (2.8)$$

причому

$$\kappa_k = \varepsilon_1^2 L_2(\mu_k H)/(\mu_k \delta \omega_k), \quad L_2(\mu_k H) = \begin{cases} \operatorname{th} \mu_k H & \text{для задачі I,} \\ \operatorname{cth} \mu_k H & \text{для задачі II,} \end{cases} \quad (2.9)$$

$$\omega_k = \frac{1}{2} [W_1^2(\lambda_k) - \varepsilon_0^2 W_1^2(\lambda_k \varepsilon_0)], \quad k = \overline{1, \infty}; \quad \delta = G_2/G_1.$$

Після визначення напруження $\tau(x)$ і сталих N_m ($m = \overline{0, \infty}$) задача буде повністю розв'язана.

3. Інтегральне рівняння (2.5) розв'язували наближеними методами при малих параметрах ε (коли є ε_0 мале) і при ε , близьких до одиниці [1]. Встановлено, що при $0,5 \leq \varepsilon \leq 0,8$ методи перекриваються. Підставивши вирази для напруження $\tau(x)$ в формули (2.8), одержуємо систему лінійних алгебраїчних рівнянь безмежного порядку відносно N_m ($m = \overline{0, \infty}$), квазіцілкомрегулярність якої доводиться. Згідно з теоремою обернення інтегрального перетворення Хаңкеля [4] із (2.7) одержуємо

$$\varphi(\eta) = \eta \int_{\varepsilon}^1 x \tau(x) J_1(\eta x) dx, \quad 0 < \eta < \infty. \quad (3.1)$$

Тоді за формулами (1.9), (2.1), (2.2) можна знайти напруження та переміщення у півпросторі та циліндрі.

При розрахунку на міцність пружних тіл, чи системи пружних тіл, послаблених щілинами (тріщинами), важливу роль відіграє коефіцієнт інтенсивності напруження на краю щілини. Зокрема, у цій задачі коефіцієнти інтенсивності контактних напружені $\tau(x)$ визначаються за формулами [6]

$$K_{III}^{(i)} = \lim_{S_i \rightarrow 0} \{ \sqrt{2\pi S_i} \tau(x) \}, \quad i = 1, 2; \quad S_1 = 1 - x, \quad S_2 = x - \varepsilon. \quad (3.2)$$

Обчислення показали, що для $0 \leq \varepsilon \leq 0,8$ (з точністю до $0[\varepsilon^p (\mu_k \varepsilon)^{-q}]$, $P+q \leq 5$)

$$K_{III}^{(1)} = \frac{4}{\sqrt{\pi}} \left\{ F_0 \varepsilon_1 + \frac{1}{2} \sum_{k=1}^{\infty} \mu_k F_k \left[w_0(\mu_k) + \right. \right. \\ \left. \left. + \frac{2}{\pi} \sum_{n=1}^3 \sum_{m=1}^n \frac{(-1)^{m+1} (2n)!!}{(2n+1)(2n-2m)!!} \times \varepsilon^{2n+2-m} w_{m+1}(\mu_k \varepsilon) / (\mu_k \varepsilon)^m \right] \right\}, \quad (3.3)$$

$$K_{\text{III}}^{(2)} = \frac{4\varepsilon}{V\pi} \left[F_0 \varepsilon_1 (0,8479 + 0,2667 \varepsilon^2) + \frac{2}{\pi} \sum_{k=1}^{\infty} \mu_k F_k w_1(\mu_k \varepsilon) \right], \quad (3.4)$$

а для $0,5 \leq \varepsilon < 1$ (з точністю до $O(\lambda^{-3})$, $\lambda = 2/\ln \frac{1}{\varepsilon}$) .

$$K_{\text{III}}^{(i)} = \frac{\sqrt{\pi\lambda}}{\varepsilon} \sum_{m=0}^{\infty} \sum_{n=0}^2 (-1)^{n(i+1)} F_m \eta_{nm}, \quad i = 1, 2. \quad (3.5)$$

У наведених формулах

$$w_r(\mu_k x) = \sqrt{\frac{2}{\pi \mu_k x}} W_{r+\frac{1}{2}}(\mu_k x), \quad \eta_{00} = \varepsilon^{3/4}/(\ln 2\lambda + 0,0793)\varepsilon_1,$$

$$\eta_{10} = 1,5 \varepsilon^{3/4} \varepsilon_1 \lambda^{-1}, \quad \eta_{20} = 0,9375 \varepsilon^{3/4} \varepsilon_1 \lambda^{-2}, \quad \eta_{0k} = \frac{S_0 - \frac{1}{2} \lambda^{-1} S_1}{\ln 2\lambda + 0,0793},$$

$$\eta_{1k} = \frac{1}{2} S_1 \lambda^{-1} - \frac{1}{4} S_2 \lambda^{-2}, \quad \eta_{2k} = \left(\frac{1}{4} S_2 - 0,375 S_0 \right) \lambda^{-2}, \quad (3.6)$$

$$S_0 = W_1(\mu_k), \quad S_1 = 2\mu_k W_0(\mu_k) - W_1(\mu_k), \\ S_2 = -4\mu_k W_0(\mu_k) + (4\mu_k^2 - 1)W_1(\mu_k), \quad k = \overline{1, \infty}.$$

4. Як приклад розглянемо задачу I, коли $f_1(\xi) = f_2(\xi) = 0$, $U(\rho) = a\rho$ (a — кут повороту верхнього торця циліндра як жорсткого цілого під впливом моменту кручення M). Тоді $F_0 = a - N_0$, $F_k = 0$ ($k = \overline{1, \infty}$). Проведені на ЕОМ обчислення показа-

Таблиця 1
Значення жорсткості на кручення C
при $0 \leq \varepsilon \leq 0,7$

Π	ε	δ		
		1	2	4
0,5	1,0	1,92	1,40	0,913
1	0,967	0,707		
4	0,353	0,339	0,300	
0,5	1,03	1,92	1,32	0,911
1	0,926	0,706		
4	0,364	0,334	0,300	
0,5	0,5	1,88	1,38	0,909
1	0,963	0,931		
4	0,362	0,339	0,300	
0,5	0,7	1,87	1,36	0,890
1	0,951	0,693		
4	0,362	0,337	0,298	

Таблиця 2
Значення жорсткості на кручення C
при $0,5 \leq \varepsilon \leq 0,95$

Π	ε	δ		
		1	2	4
0,5	0,5	1,18	1,37	1,05
1	0,955	0,956	0,790	
4	0,324	0,338	0,315	
0,5	0,7	1,38	1,30	0,955
1	0,959	0,923	0,732	
4	0,338	0,334	0,305	
0,5	0,9	1,42	1,18	0,810
1	0,981	0,858	0,644	
4	0,341	0,325	0,288	
0,5	0,95	1,40	1,10	0,737
1	0,969	0,818	0,597	
4	0,340	0,319	0,279	

ли, що при даних граничних умовах безрозмірна жорсткість пружної системи на кручення

$$C = M/(\alpha R_1^3 G_2) = \pi D_0 (1 - \varepsilon^{\frac{4}{3}})/(2H), D_0 = N_0/\alpha \quad (4.1)$$

зростає зі зменшенням параметрів ε_0, H, δ , але мало змінюється при зміні параметрів ε_1 і ε . Зокрема, табл. 1, 2 для C при $\varepsilon_0=0$,

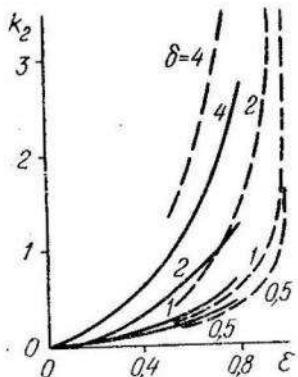


Рис. 1.

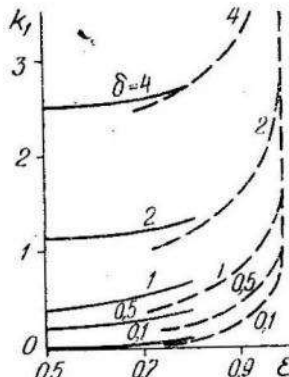


Рис. 2.

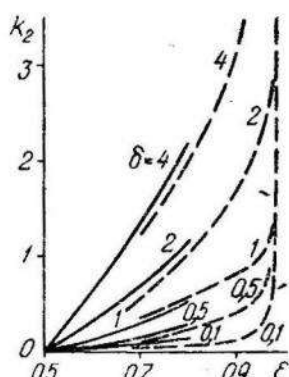


Рис. 3.

$\varepsilon_1=1$ (випадок внутрішньої щілини), одержані методами малого та великого параметрів ε , свідчать, що результати перекриваються при $0,5 \leq \varepsilon \leq 0,8$. Безрозмірні коефіцієнти інтенсивності контактних напружень $k_i = \pi R_1^3 G_2 K_{III}^{(i)} / (2M)$ ($i = 1, 2$) майже не залежать від H ($H > 0,5$), але істотно залежать від всіх решти параметрів. На рис. 1 показані графіки залежності k_2 від параметрів ε і δ при $\varepsilon_1=1, \varepsilon_0=0, H=1$, одержані методами малих ε (суцільні криві) і великих ε (пунктирні криві). Аналогічні графіки зображені на рис. 2 і 3 для k_1 і k_2 при $\varepsilon_0=0,5, \varepsilon_1=0,99$ і $H=4$.

ЛІТЕРАТУРА

1. Александров В. М. Осесимметричная задача о действии кольцевого штампа на упругое полупространство. — «Инженерный журнал. Механика твердого тела», 1967, № 4.
2. Арутюнян Н. Х., Абрамян Б. Л. Кручение упругих тел. М., Физматгиз, 1963.
3. Грилицкий Д. В., Кизыма Я. М. Совместное кручение стержня и полупространства. — «Прикладная механика», 1967, т. 3, вып. 2.
4. Снеддон И. Преобразования Фурье. М., ИЛ, 1955.
5. Фримэн, Кир. Кручение цилиндрического стержня, прикрепленного к упругому полупространству. — «Прикладная механика», серия Е, 1967, т. 34, № 3.
6. Irwin G. R. Fracture. Handbuch der Physik, Bd. 6, Springer-Verlag, Berlin, 1958.
7. Keer L. M., Freeman N. J. Torsion of a finite elastic cylindrical rod partially bonded to an elastic half-space. — «Quart. Appl. Math.», 1969, vol. 26, № 4.